

Human and Interaction

2024년도 동계 세미나



Sogang University

Vision & Display Systems Lab, Dept. of Electronic Engineering



Presented By

ChanHee Kang

Outline

- Background
 - Camera model
 - Weak perspective camera model
 - Perspective camera model
- Paper
 - CHORUS: Learning Canonicalized 3D Human-Object Spatial Relations from Unbounded Synthesized Images

Background

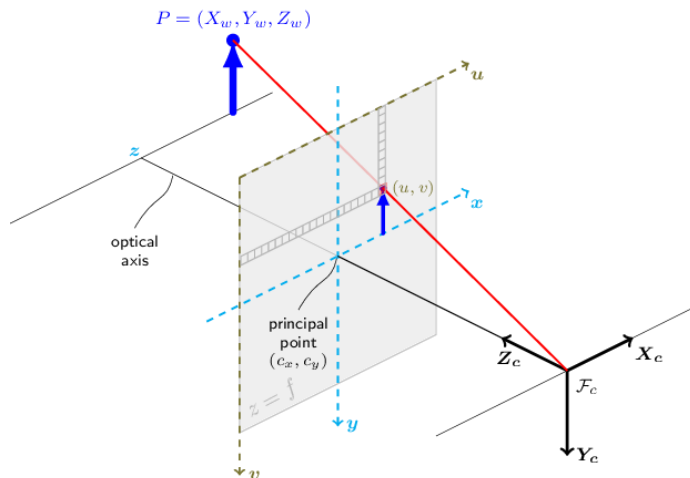
- Perspective Camera Model (원근 투영 카메라 모델)

• 개요

- 3D 공간의 점들을 2D 이미지 평면으로 투영할 때, 물체와 카메라 사이의 거리에 따라 투영되는 물체의 크기가 달라지는 현상을 반영한 카메라 모델
- $P' = K[R|t]P$ 로 표현할 수 있음

;; P : 3D 공간의 점, K : 카메라 내부 파라미터 행렬, R : rotation matrix, t : translation vector

;; P' : 2D 이미지 평면에 투영된 점

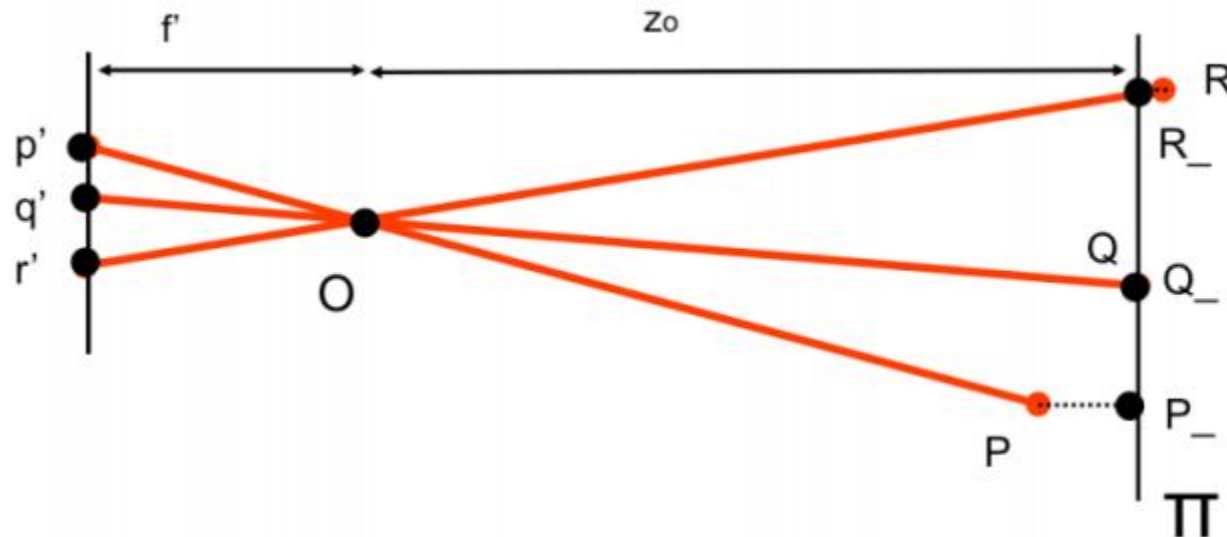


Background

- Weak Perspective Camera Model (약한 원근 투영 카메라 모델)

• 개요

- Weak perspective camera model은 perspective model을 단순화 하여, 3D 공간의 객체가 카메라에 충분히 멀리 떨어져 있어 모든 점들이 거의 동일한 거리에 있다고 가정하는 카메라 모델
- 이 모델에서는 객체의 깊이 변화가 이미지 상의 크기 변화에 미치는 영향을 무시할 수 있음
- 이로 인해, 모든 투영(projection)은 단일 스케일링 요소로 근사할 수 있음



Background

[경고] 다음 내용을 모르고 세미나 내용을 들으면 바보로 느껴질 수 있습니다.

- Skinning

- Skinning

- 뼈대만 있는 물체에 표면을 덮는 것

- Rigid Skinning

- 각 skin vertex 가 정확히 하나의 뼈(bone)에 연관되어 있다고 가정하는 방법

- ▷ 그렇기 때문에 skin의 각 vertex를 위치시키기 위해 연관된 bone의 transform을 이용

- ▷ $v'_j = T_i v_j$ 로 deformation이 진행

- 단점

- ▷ Skin vertices들의 경계에서 원하지 않는 불연속성 발생

- Linear Blend Skinning (LBS)

- 관절(joint) 근처의 vertices (mesh를 구성하는 점) 을 선형적으로 결합하여 rigid skinning의 단점을 극복

- ▷ $v'_j = \sum_i w_{ij} T_i v_j^i$ 로 deformation 진행

- ✓ i : bone의 index, j : vertex의 index

Background

[경고] 다음 내용을 모르고 세미나 내용을 들으면 바보로 느껴질 수 있습니다.

- Precision, Recall, AP (Average Precision)

- Precision

- Positive라고 한 예측 중, 정답을 positive라고 예측한 것의 비율

- Recall

- 실제로 정답인 것 중 모델이 정답이라고 예측한 것의 비율

- Average precision

- Confidence score의 적절한 threshold를 조절함에 따라 precision과 recall 값이 변함

- 이렇게 조절하여 recall값의 변화에 따른 precision 값을 나타낸 것을 PR곡선이라고 함

- 이렇게 얻어진 precision 값의 평균을 AP라고 하며 PR 곡선의 면적 (AUC, Area Under Curve)로 계산

Paper

- Overview

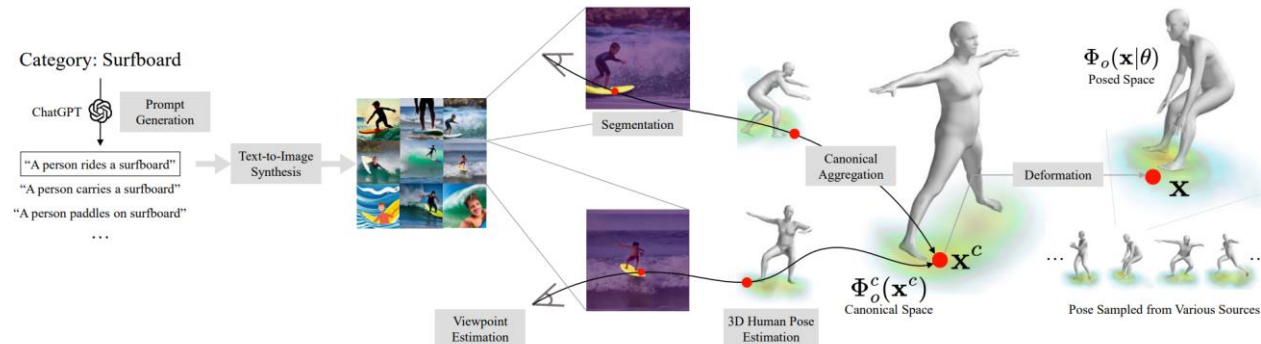
- 목표

- Human Object Interaction (HOI)에 대한 3D spatial knowledge를 사람의 표면 위치에 대한 occupancy probability distribution로 모델링 하는 것

- Occupancy probability distribution : 사람 표면의 좌표가 주어졌을 때, 그 좌표에 object 가 접촉할 확률 분포

- $\Phi_o(x|\theta, s) \in [0, 1]$

- ✓ o : interaction 하는 object, x : HOI가 일어나는 위치, θ : SMPL pose 파라미터, s : HOI type



Paper

- ChatGPT를 이용한 prompt 생성과, LDM을 이용한 이미지 합성

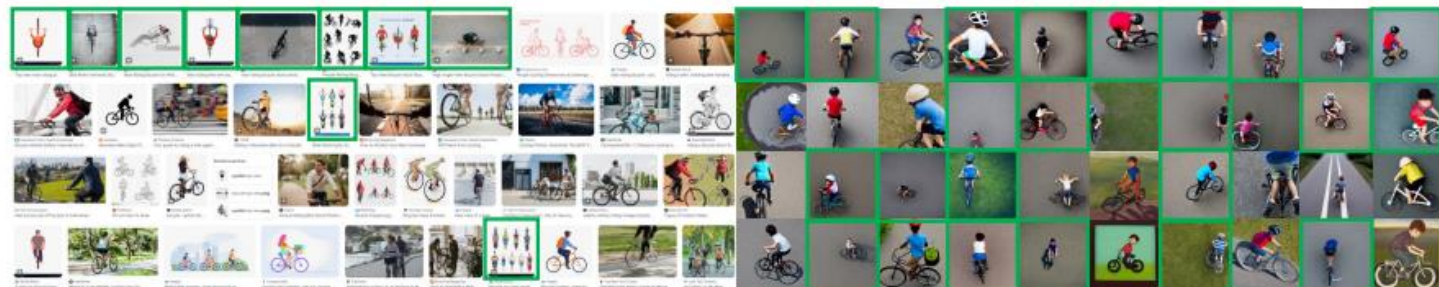
- Prompt : “A person is riding a bicycle, top view”

- Internet Image Search V.S. Image Synthesis

- ▷ 비슷한 대상에 대한 multi-view 이미지를 얻기 원함
 - ▷ 합성된 이미지가 ‘top view’라는 viewpoint keyword에 더 부합하는 이미지 생성
 - ▷ 인터넷 크롤링을 해서 얻은 이미지보다 실험적으로 합성적 이미지가 더 적합할 것이라 판단

- Image filtering

- ▷ 생성된 이미지를 사람의 존재 유무, 생성된 사람의 수, 생성된 사람의 상체 존재 유무 등의 기준을 통해 필터링



Internet Image Search Results

Synthesized Images

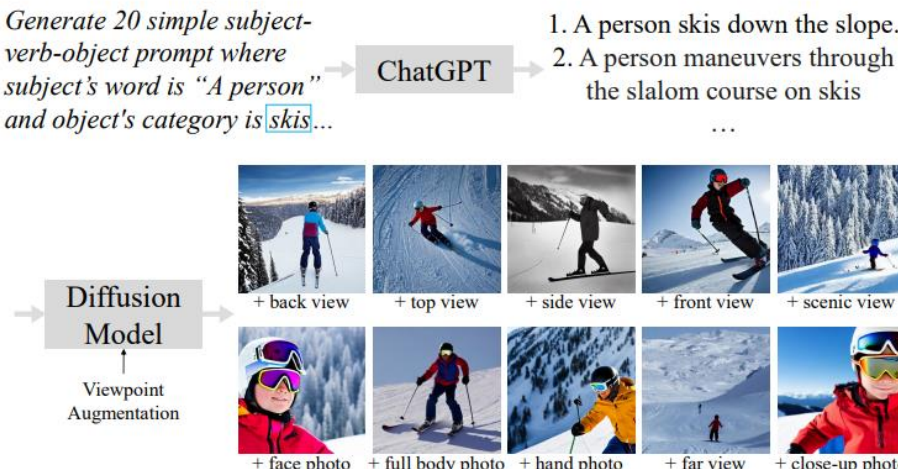
Paper

- ChatGPT를 이용한 prompt 생성과, LDM을 이용한 이미지 합성

- Viewpoint augmentation

- ChatGPT로 생성된 prompt에 viewpoint를 의미하는 keyword를 추가하여 augmentation 진행

Weakness : viewpoint가 제대로 반영되었는지를 filtering 하는 protocol이 존재하지 않았음



Paper

- 생성된 이미지의 문제점

- 생성 모델을 통해 생성된 2D 이미지의 inconsistency

- 생성 모델을 통해서 생성된 이미지의 경우 정확히 동일한 대상에 대한 multi-view 이미지 생성 불가

- ▷ 이는 입력하는 prompt로 control 할 수 있는 것이 아님

- ▷ Prompt로 control할 수 있는 것은 interaction하는 object와 interaction type 뿐임

- ✓ Object to interact with : surfboard, backpack, ...

- ✓ Interaction type : hold, ride, ...

- 생성 모델을 통해서 생성된 이미지는 pose를 제어할 수 없음

- ▷ 그렇기 때문에 canonical space에서의 occupancy distribution을 구해야 함

- ▷ 이를 논문에서는 HOI cues들을 canonical space에서 aggregate 한다고 이야기함

Paper

- Canonical Space

- Human pose 에서의 canonical space

- 이 논문에서 이야기하는 canonical space는 SMPL의 rest pose로 정의됨 (48^3 voxel space)

- ▷ 대부분의 관절에 대해 회전을 0으로 설정

- ▷ 왼쪽과 오른쪽 골반(pelvis)에 각각 z축 회전을 $\pm \frac{\pi}{6}$ 를 적용

- ✓ 실험적으로 다리 사이에 충분한 거리를 유지하는 것이 유리하다는 것을 경험적으로 발견

- ▷ $\Phi_0^c(x^c|s) \in [0, 1]$ 를 우선 찾고 이를 pose deformed space로 warping

- ✓ Φ_0^c : canonical space에서 특정 object와 interaction할 확률 분포

- ✓ x^c : canonical space 상에서의 vertex 좌표

- ✓ s : HOI type (e.g. hold, ride, ...)



Paper

- Pose Canonicalization

- 방법론

- 3D human pose estimation model (top-down)을 이용해 camera viewpoint를 추정
 - 생성된 2D object를 semantic segmentation 모델을 이용해 object와 human에 대한 mask를 구함
 - 이를 이용하여 3D occupancy distribution을 추정

- Viewpoint estimation via 3D Human Pose Estimation

- Off-the-shelf 3D human pose estimator 사용 (top-down approach)

- ▷ Input : I (image), B (person bounding box)

- ▷ Output : ϕ (global orientation), θ (pose parameter=angles), β (shape parameter), π (weak perspective camera parameter), j (image space에서의 projected 2D joint location)

- Camera parameter conversion

- ▷ ϕ, π 의 경우 perspective camera parameter로 변환됨

- ✓ WPC parameter를 이용한 projection과 PC parameter를 통해 구한 projection이 일치하도록 최적화

Paper

- 3D Occupancy Estimation via Human Pose Canonicalization

관절 index는 고정된 상태
or
Vectorized weight

- Canonical space의 Linear Blend Skinning (LBS) weight 계산

$$\omega(\mathbf{x}^c) = \frac{\sum_{\substack{i \in \mathbf{N}_k(\mathbf{x}^c)}} w_i / \|\mathbf{x}^c - \mathbf{v}_i\|}{\sum_{\substack{i \in \mathbf{N}_k(\mathbf{x}^c)}} 1 / \|\mathbf{x}^c - \mathbf{v}_i\|}$$

- SMPL 메시의 k 개의 가장 가까운 이웃 꼭짓점에서의 가중치를 이용

- ↳ 직관적으로 3D 공간은 가장 가까운 SMPL 꼭짓점들의 움직임을 따라 변형됨

- ↳ Canonical space의 특정 위치의 메시가, 인접한 mesh의 꼭짓점의 영향을 더 받게끔 설계

- ↳ 기존의 SMPL에서 사전 정의된 LBS weight (w_i)를 조금 수정함

Paper

- 3D Occupancy Estimation via Human Pose Canonicalization

- Canonical space to pose deformed space warping

$$\mathbf{x} = \mathcal{W}(\mathbf{x}^c) = \sum_{j=1}^{n_b} \omega_j(\mathbf{x}^c) \cdot \mathbf{B}_j(\theta_j) \cdot \mathbf{x}^c$$

- j : joint의 index (관절)

- $\mathbf{B}_j(\theta_j) \in SE(3)$, w_j : j -번째 관절에 해당하는 LBS weight

- Occupancy distribution computation

$$\Phi_o^c(\mathbf{x}^c) = \frac{\sum_{k=1}^{|G|} r_k \mathcal{M}_k(\Pi_k(\mathcal{W}(\mathbf{x}^c)))}{\sum_{k=1}^{|G|} r_k \mathcal{I}_k(\Pi_k(\mathcal{W}(\mathbf{x}^c)))}$$

- G : a set of generated images, r_k : accumulation score

- \mathcal{M}_k : mask operator, \mathcal{I}_k : image operator, Π_k : perspective camera parameter

Paper

- 3D Occupancy Estimation via Human Pose Canonicalization

- Uniform View Sampling

- Viewpoint augmentation을 했음에도 불구하고 특정 viewpoint의 편향이 존재

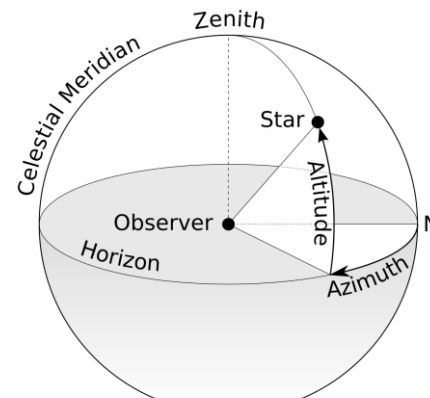
- ↳ Azimuth (방위각)을 고정된 숫자의 bin으로 나눔

- ↳ 각 bin에 해당하는 카메라 숫자의 역수를 accumulation score r_k 로 지정

- Inference for posed space

- Inference 시에는 canonical space에서의 occupancy distribution을 posed deformed space로 변형

- ↳ Backward skinning 이용 (train 시에는 forward skinning 이용)



Paper

- Experiments

- Dataset

- Image search dataset

↳ AutoCrawler를 이용하여 이미지 크롤링된 데이터 셋 사용

- COCO-EFT dataset (for testing)

↳ GT-2D object mask 존재

↳ Pseudo 3D GT (SMPL) 존재



Paper

- Evaluation Protocol

- Projective Average Precision (PAP)

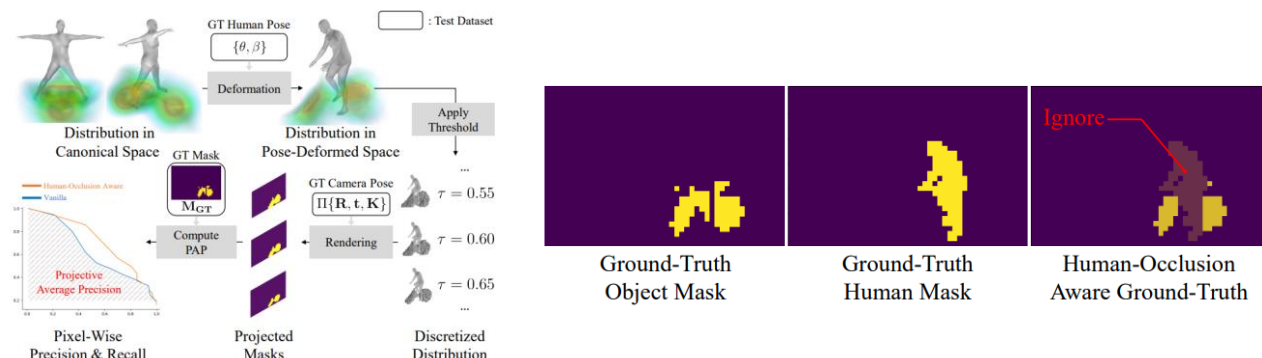
- 3D annotation 없이 occupancy distribution의 타당성을 평가하기 위한 지표

- ※ 분포 변형 : 분류 키워드에 따라 canonical space에서 pose deformed space로 분포 변형

- ※ 분포 이산화 : pose deformed space에서 분포를 다양한 threshold에 대해 이산화 후, perspective camera를 이용하여 projection 시킴

- ※ Precision and Recall 계산 : Threshold에 대해 렌더링된 마스크와 annotation mask의 pixelwise precision 과 recall 계산

- ※ AP 계산 : Precision과 Recall 값을 계산하여 AP 값을 계산하고, 이를 모든 카테고리 내, 모든 테스트 이미지에 대해 평균하여 PAP 값 계산



감사합니다.